

Письма в ЖЭТФ, том 20, вып. 10, стр. 641 – 644 20 ноября 1974 г.

ЭФФЕКТ НЕЛИНЕЙНОГО МНОГОПРОЛЕТНОГО "НЕЗАТУХАНИЯ" ЗВУКА

Н. В. Ильинский, Э. З. Яхкинд

В настоящей работе сообщается о наблюдении многопролетного "незатухания" звука в Тe в условиях, когда по линейной теории оно невозможно. Наблюдаемый эффект объясняется нелинейным концентрационным взаимодействием звукового сигнала с усиленным шумовым потоком.

В измерениях использовались монокристаллические образцы Тe косого среза. Направление распространения пьезоактивной поперечной звуковой волны, поляризованной вдоль оси симметрии второго порядка X , совпадало с направлением минимальной скорости звука $v_{3B} = 1,05 \cdot 10^5 \text{ см/сек}$ ($T = 77\text{K}$), лежащим под углом $\theta = -26^\circ 30'$ к оси Y в плоскости YZ . Образцы, размерами $3,8 \times 4,0 \times 6,5 \text{ мм}^3$, были вырезаны из монокристаллов Тe левой модификации с концентрацией дырок $p = (2 + 3) \cdot 10^{14} \text{ см}^{-3}$ и подвижностью $\mu = (1,5 + 3,5) \cdot 10^3 \text{ см}^2/\text{с. сек}$ ($T = 77\text{K}$).

Измерения велись на "прохождение". Для возбуждения и приема звука частотой $f = 95 + 205 \text{ МГц}$, к образцам приклеивались преобразователи из кварца Y -среза. Изменение амплитуды звука в поле компенсировалось аттенюатором. При измерениях образец, вместе с держателем, погружался в жидкий азот.

По линейной теории, электронный коэффициент поглощения (усиления) звука α определяется формулой [1]:

$$\alpha = 4,34K^2 \frac{\omega}{v_{3B}} \frac{\omega r_M \gamma}{(\omega r_M \gamma)^2 + (1 + q^2 R_D^2)^2} \quad (ql \ll 1). \quad (1)$$



Издательство "Наука", Письма в ЖЭТФ", 1974г.

Здесь q — волновой вектор звука, l — средняя длина свободного пробега носителей, $\omega = 2\pi f$, K — константа электромеханической связи, $\tau_M = \epsilon/4\pi\sigma$ — максвелловское время релаксации, σ — проводимость, ϵ — диэлектрическая постоянная, R_D — радиус Дебая, $y = \left(1 - \frac{\mu E}{v_{3B}}\right) = \left(1 - \frac{E}{E_{kp}}\right)$

параметр надкритичности, $E_{kp} = v_{3B}/\mu$ — критическое поле, при котором затухание звука сменяется его усилением (все величины берутся для выбранного кристаллографического направления).

В нашем случае $q^2 R_D^2 < 0,1$, $\omega \tau_M = 0,02 + 0,06$ и, следовательно, при $E < 10 E_{kp}$, согласно (1), зависимость a от E с хорошей точностью должна следовать линительному закону. Круговое (или многопролетное) усиление возможно при этом лишь в полях $E > 10 E_{kp}$.

Измерения в прямом поле (направления звука и дрейфа совпадают) дали линейную зависимость a от E до напряженности поля $E \approx 1,1 E_{kp}$,

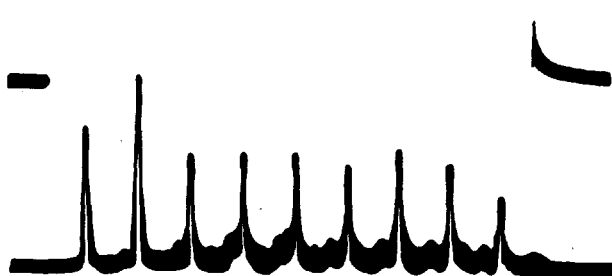


Рис. 1. Развертка — 20 мксек/деление: верхний луч — импульс прямого дрейфового поля. М-б-20 с/деление $y = -0,1$; нижний луч — эхо-импульсы звука $f = 133$ Мгц. М-б-2 с/деление

когда наступает отклонение от линейности, вызванное влиянием усиленного шума. Наклон линейных участков для разных частот соответствовал теории при $K^2 = 0,14$, усиление звука достигало 70 дБ/см.

Однако при этом было обнаружено, что с увеличением E выше E_{kp} , на экране осциллографа, кроме первого импульса (одно прямое прохождение) появляются второй (три прохождения), третий (пять прохождений) и т.д. импульсы. При дальнейшем повышении поля каждый последующий из этих импульсов обгоняет в своем росте предыдущий, пока все они не становятся примерно равными по величине (рис. 1, $E = 1,1 E_{kp}$, $f = 133$ Мгц). На приведенной осциллограмме видно 9 импульсов (17 прохождений) незатухающего звука.

Это означает, что в условиях наших измерений, в образце Теса осуществляется круговое или многопролетное электронное усиление звукового сигнала, которое компенсирует, в среднем, решеточное затухание звука, потери на отражение, а также потери, обусловленные различием направлений фазовой и групповой скоростей звука (для нашего косого среза угол между ними около 3°).

Очевидно, что линейной теорией наблюдаемый эффект объяснить нельзя. Нельзя его объяснить и нелинейностью самого звука, поскольку интенсивность звуковой волны в этих измерениях всюду в образце была не больше 10^{-5} см $/см^2$.

Естественно предположить, что причиной многопролетного электронного усиления звука, в условиях нашего опыта, является влияние на звук усиленного шумового потока через механизм концентрационной нелинейности. Наросший шум эффективно захватывает носители и звук распространяется как бы в среде с измененными параметрами, в частности, с меньшей проводимостью, для которой взаимодействие слабее и имеет другую полевую зависимость. Наблюдению такого взаимодействия шума и сигнала именно в Т_е способствует большая величина константы электромеханической связи в этом материале.

Но если многопролетное усиление звука имеет такую природу, то оно должно наблюдаться и в обратном поле, поскольку различие между обратным и прямым полем в данном случае заключается лишь в условиях первого прохождения (затухание, а не усиление звука). Напомним, что по линейной теории в обратном поле затухание линейно растет с $|E|$; при этом звуковой сигнал, по оценкам, делается ненаблюдаемым.

Действительно, в обратном поле импульс звука вначале исчезает, но при $|E| = 1,1 E_{kp}$ он появляется снова, за ним вырастают другие импульсы и когда $|E| = 1,4 E_{kp}$, на экране осциллографа и в этом случае возникает последовательность незатухающих импульсов звука (рис. 2).

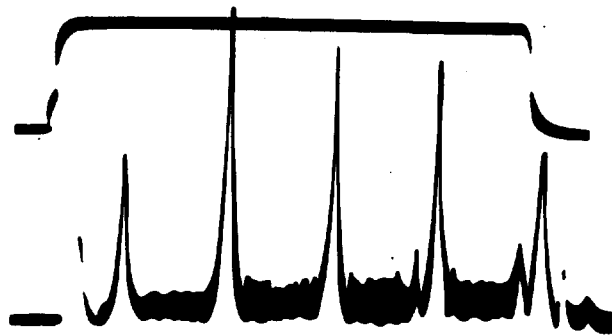


Рис. 2. Развертка – 10 мксек/деление: верхний луч – импульс обратного дрейфового поля; М–Б–50 с/деление $y = +2,50$; нижний луч – эхо-импульсы звука $f = 95$ Мгц. М–Б–2 с/деление. Входная интенсивность звука $I_{bx} = 3$ см²/см²

Уменьшение входной интенсивности звука на величину до 30 дБ практически не изменяет соотношения амплитуд этих импульсов, а приводит лишь к их общему уменьшению и исчезновению в шуме.

При включении дрейфового поля раньше момента введения звука в образец на время, соответствующее 1 + 1,5 прохождениям, качественных изменений осциллограммы не наблюдалось. Если же поле включалось на 0,5 + 1,5 прохождения позже звука, то импульсы звука также возникали, но только спустя 20 – 25 мксек с момента наложения дрейфового поля. Эти результаты также свидетельствуют в пользу определяющей роли шума в наблюдаемом эффекте.

При измерениях в обратном поле уровень теплового шума, попадающего в приемник, был меньше. Это позволило проследить поведение последовательности эхо-импульсов при дальнейшем увеличении поля. Оказалось что при $|E| > 1,4 E_{kp}$, амплитуда их с ростом $|E|$ уменьшается, пока они при $|E| = 2,5 E_{kp}$ не тонут в шуме. Не исключено, что этот эффект связан с уменьшением захвата носителей, вследствие "выдувания" их полем.

Сделанные наблюдения, как нам кажется, представляют не только самостоятельный интерес, но и открывают новые перспективы в понимании поведения усиленного шумового потока в полупроводниках.

Авторы благодарны участникам семинара В.Л.Гуревича за интерес к работе и ее обсуждение.

Физико-технический институт
им. А.Ф.Иоффе
Академии наук СССР

Поступила в редакцию
15 июля 1974 г.

Литература

- [1] D.L. White. J. Appl. Phys., 33, 2547, 1962.
-